

せん断乱流場における Lagrange 相関

京都大学工学部 正員 岩佐 義朝
京都大学工学部 正員 ○綾 史郎

1.はじめに

せん断乱流場における Lagrange 相関関数には、いくつかの定義が考えられる。本研究では、Taylor の乱流拡散理論のせん断乱流場への応用（移流分散現象への応用）の見地より、境界面で拘束された、流下方向に一様な三次元的せん断乱流場における流れ方向の Lagrange 速度 v_x の相関関数について、そのいくつかの定義を示し、それらの相互関係および特性について考察した。

2. Lagrange の速度と乱れ

流れ場 x, z, y, θ 軸方向に有限であり、 x 軸（主流）方向には十分長い場を考え、速度場は、 y, z 軸方向には非一様であるが、 x 軸方向には一様な定常乱流場を考える。

時刻 $t=t_0$ に、点 (x_0, y_0, z_0) を出発した粒子の時間 s 後の時刻 $t=t_0+s$ における Lagrange の速度を、 $v(s; \alpha, t_0)$ と記すと

$$v(s; \alpha, t_0) = u(x(s; \alpha, t_0), t_0 + s) \quad (1)$$

$$x(s; \alpha, t_0) = \int_0^s v(s'; \alpha, t_0) ds' + x_0 \quad (2)$$

である。ここで、 x ；粒子位置、 u ；Euler 流速である。

x 軸方向の Lagrange 的速度 $v_x(s; \alpha, t_0)$ に対する、次の 3 種の平均を考える。

$$\langle v_x \rangle \equiv 1/\tau_a \int v_x(s; \alpha, t_0) dx dy dz \quad (3.1)$$

$$= 1/A \int dy dz (\frac{1}{L} \int v_x(s; \alpha, t_0) dx) \quad (3.2)$$

$$\langle v_x \rangle \equiv 1/L \int v_x(s; \alpha, t_0) dx \quad (4.1)$$

$$= 1/\tau_0 \int v_x(s; \alpha, t_0) dt_0 \quad (4.2)$$

$$\bar{v}_x \equiv 1/\tau_s \int v_x(s; \alpha, t_0) ds \quad (5)$$

以上の 3 種の平均値について、以下のことを加明らかである。

(a) (3) は、粒子の出発点 α に関する体積平均を示してあり、Lagrange 積分 \times Euler 積分の関係より、十分大きい τ_a (L) につれて一定であり、断面平均流速 \bar{v}_x に等しい。

$$\langle v_x \rangle = \bar{v}_x = 1/A \int \bar{u}_x(y, z) dy dz \quad (6)$$

ここで、 \bar{u}_x は局所平均流速である。

(b) (4) は、点 (y_0, z_0) を出発する多数の粒子についての平均であり、 $s=0$ のとき、
 $\langle v_x \rangle(0, \alpha) = \bar{u}_x(y_0, z_0) \quad (7)$

(c) (5) は、点 α を出発した 1 個の粒子の Lagrange 的速度の時系列に関する時間平均であり、平均化時間 τ_s (トラベルタイム s) に依存する。

(d) (4), (5) の平均は、トラベルタイム s の関数であるが、断面内の部分領域 ΔA_1 に粒子が存在する確率 $P_1 = \Delta S_1 / S$ (ΔS_1 ； s 時間内に領域 ΔA_2 に粒子が存在する時間)

は、十分大きい s に对于して、出発点 a_1 、および A_2 の位置に依存せず等しくなる (Fig. 1 参照) ので、面積平均に置きかえられて。

$$\langle v_x \rangle, \bar{v}_x \rightarrow U \quad (s \rightarrow \infty) \quad (8)$$

以上のことをより、Lagrange の乱れ v'_x は、次のように定義される。

$$v'_x(s; a_1, t_0) \equiv v_x(s; a_1, t_0) - U \quad (9)$$

粒子は、拘束された断面内を動きまわり、 $s \rightarrow \infty$ での存在確率は一定であるから、 v'_x は定常確率過程である (\bar{v}_x が一定の一様乱流場では、明らかに 3 つの定義は一致する)。

3. Lagrange の自己相関関数

関数 $b(s_1, \sigma; a_1, t_0) \equiv v'_x(s_1; a_1, t_0) v'_x(s_1 - \sigma; a_1, t_0)$ を考えると、 b は一般に出発点 a_1 、ト ラベルタイム s_1 、ラグタイム σ の関数である。 b につき 2. 2. と同様な 3 つの平均を考え、次の 3 種の Lagrange 相関関数を得る。

$$[B_L] = \frac{1}{\tau_{av}} \int b(s_1, \sigma; a_1, t_0) ds_1 d\sigma \quad (11)$$

$$\langle B_L \rangle = \frac{1}{\tau} \int b(s_1, \sigma; a_1, t_0) ds_1 \quad (12)$$

$$\bar{B}_L \equiv \frac{1}{\tau} \int b(s_1, \sigma; a_1, t_0) ds_1 \quad (13)$$

(11) ~ (13) によつて定義される相関関数について

2. 以下のことを明確かである。

(a) (11) は、 $v'_x(s_1; a_1, t_0) = v'_x(\sigma; a'_1, t_0 + s_1 - \sigma)$ 、

$v'_x(s_1 - \sigma; a_1, t_0) = v'_x(0; a'_1, t_0 + s_1 - \sigma)$ 、 $a'_1 = X(s_1 - \sigma; a_1, t_0)$

を用ひると、 \bar{B}_L のみの関数となる。

$$[B_L] = [B_L](\sigma) \quad (14)$$

(b) 通常の Lagrange 相関は、(12) なり、

$$\langle B_L \rangle(s_1, s_1; a_y, a_z) \quad (15)$$

であり、出発点 (a_y, a_z) の関数である。

(c) 2. (d), 3. (b) の関係を考慮すると

$$\langle B_L \rangle, \bar{B}_L \rightarrow [B_L] \quad (s_1 \rightarrow \infty) \quad (16)$$

4. 計算例

2 次元、3 次元のせん断乱流場を対象として、数値シミュレーションにより得られた粒子の拡散の状況を Fig. 1, Fig. 2 (a), (b) に示した。これらの図より、(8), (16) の収束性は確かに推定される。また、3 次元の場合には、2 次元に比べて遙く複雑である。

Fig. 3 は、(11), (12) で定義された Lagrange 相関関数を、2 次元せん断乱流場における求めたものである。 s が大きくなるにつれて、 $\langle B_L \rangle$ (---, — 線) が出発点位置に依存せず、 $[B_L]$ (一線) に漸近してゆくことがわかる。すな、(15) の関係は、図中で $s = \sigma$ 上において $\langle B_L \rangle$ を結んだもので表示される。

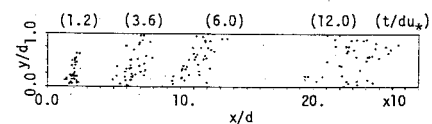


Fig. 1 2次元せん断乱流場の分散 ($ay = 0.05$)

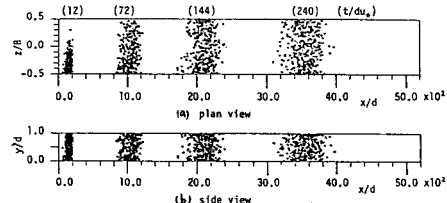


Fig. 2 3次元せん断乱流場の分散 ($ay = 0.05, az = 0.05$)

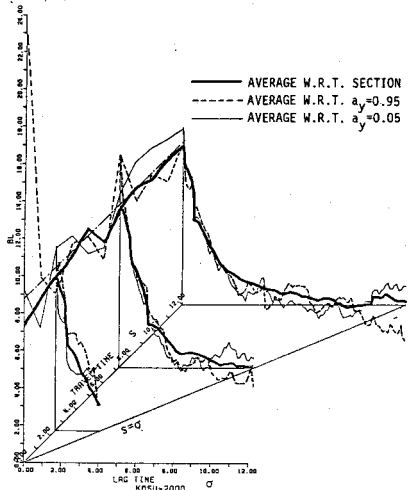


Fig. 3 2次元せん断乱流場の Lagrange 相関

参考文献: 1) Tennekes, H. and Lumley, J. L. (1972): *A First Course in Turbulence*. 2) 岩佐、鶴、森田、西川 (1982); 京都大学防災研究所報